

3.4 Quantum Wells (Quantumtröge)

Wir betrachten ein Teilchen in einem einfachen Potenzialtopf $V(r)$ der so aufgebaut ist, dass er "gebundene Zustände" erzeugt wenn die Schrödinger-Gleichung gelöst wird. Der gebundene Zustand entspricht einer endlichen Wellenfunktion $\Psi(r)$ die gegen 0 geht bei $r \rightarrow \infty$.
 Annahme: Potential hat die Form

$$V(r) = V(x) + V(y) + V(z)$$

damit wird die Wellenfunktion separabel und hat die Form

$$\Psi(r) = \Psi(x)\Psi(y)\Psi(z)$$

Wir lösen jetzt das Problem des quadratischen eindimensionalen Quantum Wells.

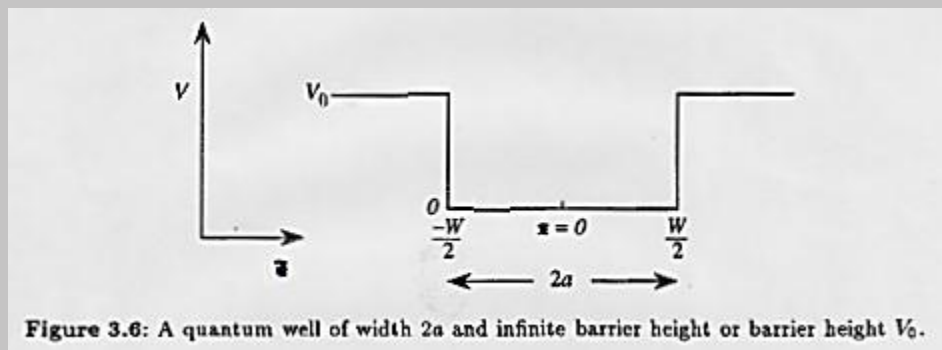


Figure 3.6: A quantum well of width $2a$ and infinite barrier height or barrier height V_0 .

3.4 Quantum well

Die zu lösende Gleichung ist damit

$$-\frac{\hbar^2}{2m} \frac{d^2\psi}{dx^2} = E \psi$$

Für den Fall unendlicher hoher Potenzialwände $V(x) = \infty$ für $|x| \geq a$ erhält man die allgemeine Lösung

$$\psi(x) = B \cos \frac{u \pi x}{2a} \quad u \text{ ungeradl. Zahl}$$

$$= A \sin \frac{u \pi x}{2a} \quad u \text{ gerade Zahl}$$

Die Energieniveaus sind dann

$$\left\{ E = \frac{\pi^2 \hbar^2 u^2}{8m^2 a^2} \right\} = \frac{\pi^2 \hbar^2 u^2}{2m^2 a^2}$$

die normierte Wellenfunktion des Teilchens ergibt sich damit zu

$$\psi(x) = \sqrt{\frac{1}{a}} \cdot \cos \left(\frac{u \pi x}{a} \right) \quad u \text{ ungeradl.}$$

$$= \sqrt{\frac{1}{a}} \cdot \sin \left(\frac{u \pi x}{a} \right) \quad u \text{ gerade}$$

Dieses Problem mit unendlichen Potentialtoppen ist gut geeignet für die Grundzustände des diskreten Energieniveaus und ist oft ein guter Startwert für numerische Lösung der exakten Schrödinger-Gleichung.

QW

→ Für einen QW mit endlicher Barrierenhöhe V_0 gilt:

$$V(z) = \begin{cases} V_0 & |z| \leq a = \frac{\hbar}{2} \\ 0 & |z| > a = \frac{\hbar}{2} \end{cases}$$

Wir müssen jetzt die Schrödinger-Gleichung

$$\left[-\frac{d^2}{dz^2} + V(z) \right] \Psi(z) = E \cdot \Psi(z)$$

Die allgemeine Lösung für gebundene Zustände (d.h. $E < V_0$)

hat nun folgende Form

$$\Psi(z) = \begin{cases} A \cdot e^{Bz} & z < -\frac{\hbar}{2} \\ B \cdot \cos(\kappa z) + C \cdot \sin(\kappa z) & -\frac{\hbar}{2} \leq z \leq \frac{\hbar}{2} \\ D \cdot e^{-Bz} & z \geq \frac{\hbar}{2} \end{cases}$$

wobei

$$\kappa = \sqrt{\frac{2m_0 E}{\hbar^2}}$$

$$B = \sqrt{\frac{2m_0 (V_0 - E)}{\hbar^2}}$$

Unter den Randbedingungen, daß ψ stetig und $\frac{1}{m_0} \frac{\partial \psi}{\partial t}$ ebenfalls
stetig ist (d.h. $\psi(\frac{\omega}{2})^+ = \psi(\frac{\omega}{2})^-$)

$$\text{Lag. } \frac{1}{m_0} \cdot \frac{d}{dt} \psi\left(\frac{\omega}{2}\right)^+ = \frac{1}{m_0} \cdot \frac{d}{dt} \psi\left(\frac{\omega}{2}\right)^-$$

$$(a) \quad B \cdot \cos\left(\frac{\alpha \omega}{2}\right) - C \cdot \sin\left(\frac{\alpha \omega}{2}\right) = A \cdot e^{-\beta \frac{\omega}{2}} \quad \left. \begin{array}{l} \\ \end{array} \right\} \text{Stetig } \psi = \frac{\omega}{2}$$

$$(b) \quad \frac{\alpha \cdot B}{m_0} \cdot \sin\left(\frac{\alpha \omega}{2}\right) + \frac{\alpha \cdot C}{m_0} \cos\left(\frac{\alpha \omega}{2}\right) = \frac{b}{m_0} \cdot A \cdot e^{-\beta \frac{\omega}{2}}$$

$$(c) \quad B \cdot \cos\left(\frac{\alpha \omega}{2}\right) + C \cdot \sin\left(\frac{\alpha \omega}{2}\right) = D \cdot e^{-\beta \frac{\omega}{2}} \quad \left. \begin{array}{l} \\ \end{array} \right\} \text{Stetig } \psi = \frac{\omega}{2}$$

$$(d) \quad -\frac{\alpha \cdot B}{m_0} \cdot \sin\left(\frac{\alpha \omega}{2}\right) + \frac{\alpha \cdot C}{m_0} \cos\left(\frac{\alpha \omega}{2}\right) = -\frac{b}{m_0} \cdot D \cdot e^{-\beta \frac{\omega}{2}}$$

QW

daraus ergibt sich:

$$(a+c) \quad 2 \cdot B \cdot \cos\left(\frac{\omega b}{2}\right) = (A+D) e^{-j\frac{\omega b}{2}} \quad (1)$$

$$(c+d) \quad \frac{2i \cdot B}{\omega_0} \cdot \sin\left(\frac{\omega b}{2}\right) = \underline{\underline{B(A+D)}} e^{-j\frac{\omega b}{2}} \quad (2)$$

$$\Rightarrow \underbrace{\frac{\alpha \cdot b}{\omega_0 \cdot 2} + i \omega_0 \cdot \tan\left(\frac{\omega b}{2}\right)}_{\text{Parität}} = \underline{\underline{B(A+D)}} e^{-j\frac{\omega b}{2}}$$

Lösung für ungerade Parität

$$(2)/(1) \cdot \frac{b}{2}$$

$$\text{Lsg.: } \left\{ \left(\alpha \cdot \frac{b}{2} \right) \cdot \tan\left(\frac{\omega b}{2}\right) = - \frac{\omega_0}{\omega_0} \cdot B \cdot \frac{b}{2} \right\}$$

$$(a-c) \quad 2 C \cdot \sin\left(\frac{\omega b}{2}\right) = (D-A) e^{-j\frac{\omega b}{2}}$$

$$(c-d) \quad 2 \times C \cdot \cos\left(\frac{\omega b}{2}\right) = -D \cdot (D-A) e^{-j\frac{\omega b}{2}}$$

$$\Rightarrow \underbrace{\frac{\alpha \cdot b}{\omega_0 \cdot 2} \cdot \cot\left(\frac{\omega b}{2}\right)}_{\text{Parität}} = - \frac{D \cdot b}{\omega_0 \cdot 2}$$

Lösung für gerade Parität

$$\left\{ \alpha \cdot \frac{b}{2} \cdot \cot\left(\frac{\omega b}{2}\right) = - \frac{\omega_0}{\omega_0} \cdot (D \cdot b / 2) \right\}$$

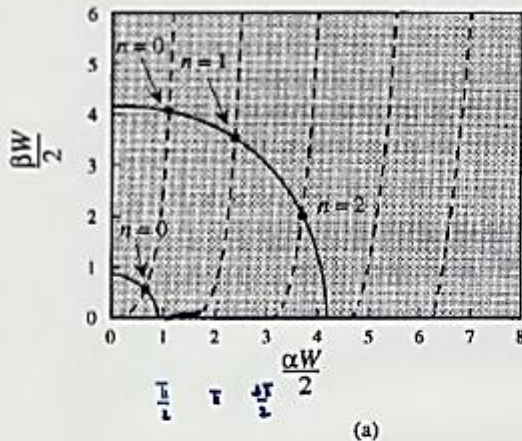
Diese beiden Gleichungen sind analog wie früher bei den Knoten einer Wellenleitung. Sie können wiederum entweder mit Hilfe numerischer Techniken gelöst werden, oder graphisch da

$$\left\{ \left(\alpha \cdot \frac{b}{2} \right)^2 + \frac{\omega_0}{\omega_0} \left(D \cdot \frac{b}{2} \right)^2 = \frac{2 \omega_0 V_0}{\ell^2} \left(\frac{b}{2} \right)^2 := R(d) \right.$$

$$\text{Radius eines Kreises mit dem Radius } R = \sqrt{\frac{2 \omega_0 V_0}{\ell^2}} \cdot \frac{b}{2}$$

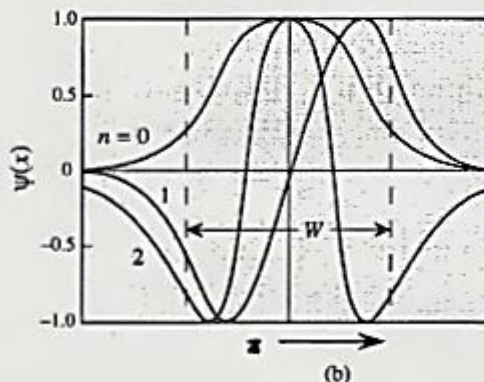
Der Schnittpunkt dieses Kreises mit dem oberen Kettchen gibt direkt die Lösung

QW – graphische Lösung



$$\begin{aligned}
 & - \cdots \left(\frac{\alpha W}{2} \right) \tan \left(\frac{\alpha W}{2} \right) = \frac{\beta W}{2} \\
 \text{or } & \left(\frac{\alpha W}{2} \right) \cot \left(\frac{\alpha W}{2} \right) = - \frac{\beta W}{2} \\
 \text{Radius } & = \frac{m V_0 W^2}{2 \hbar^2}
 \end{aligned}$$

(a)



(b)

Anzahl der Lösungen:

$$(N-1) \cdot \frac{\pi}{2} \leq \sqrt{2 \cdot m \omega \cdot V_0} \cdot \left(\frac{\omega}{2} \right) < N \cdot \frac{\pi}{2}$$

$$N = 1 + \text{Int} \left(\frac{2}{\pi} \cdot \sqrt{2 \cdot m \omega \cdot V_0} \cdot \frac{\omega}{2} \right)$$

Figure 3.7: (a) The graphical approach to solving for the allowed modes in a finite quantum well. (b) Typical solutions for the particle wavefunctions.

QW – Anzahl der Lösungen

Die aus der Folie klar ersichtlich waren mit zunehmender Topfbreite W die Anzahl der Lösungen zu. Es gibt aber immer mindestens eine Lösung. Aus obigen Bild ist offensichtlich, dass wenn der Kreis im Bereich

$$(N-n) \cdot \frac{\pi}{2} \leq \sqrt{\frac{2m\omega_0 V_0}{\hbar^2}} \cdot \left(\frac{W}{2}\right) < N \cdot \frac{\pi}{2}$$

ist, dann gibt es N Lösungen wobei

$$N = 1 + \text{int} \left[\frac{2}{\pi} \sqrt{\frac{2m\omega_0 V_0}{\hbar^2}} \cdot \frac{W}{2} \right]$$

Für Halbböle ist V_0 jetzt dann entweder ΔE_C für Elektronen bzw. ΔE_V für Löcher. Wegen der unterschiedlichen Massen der schweren und leichten Löcher spalten deren Energieniveaus im QW auf.

QW – AlAs/GaAs

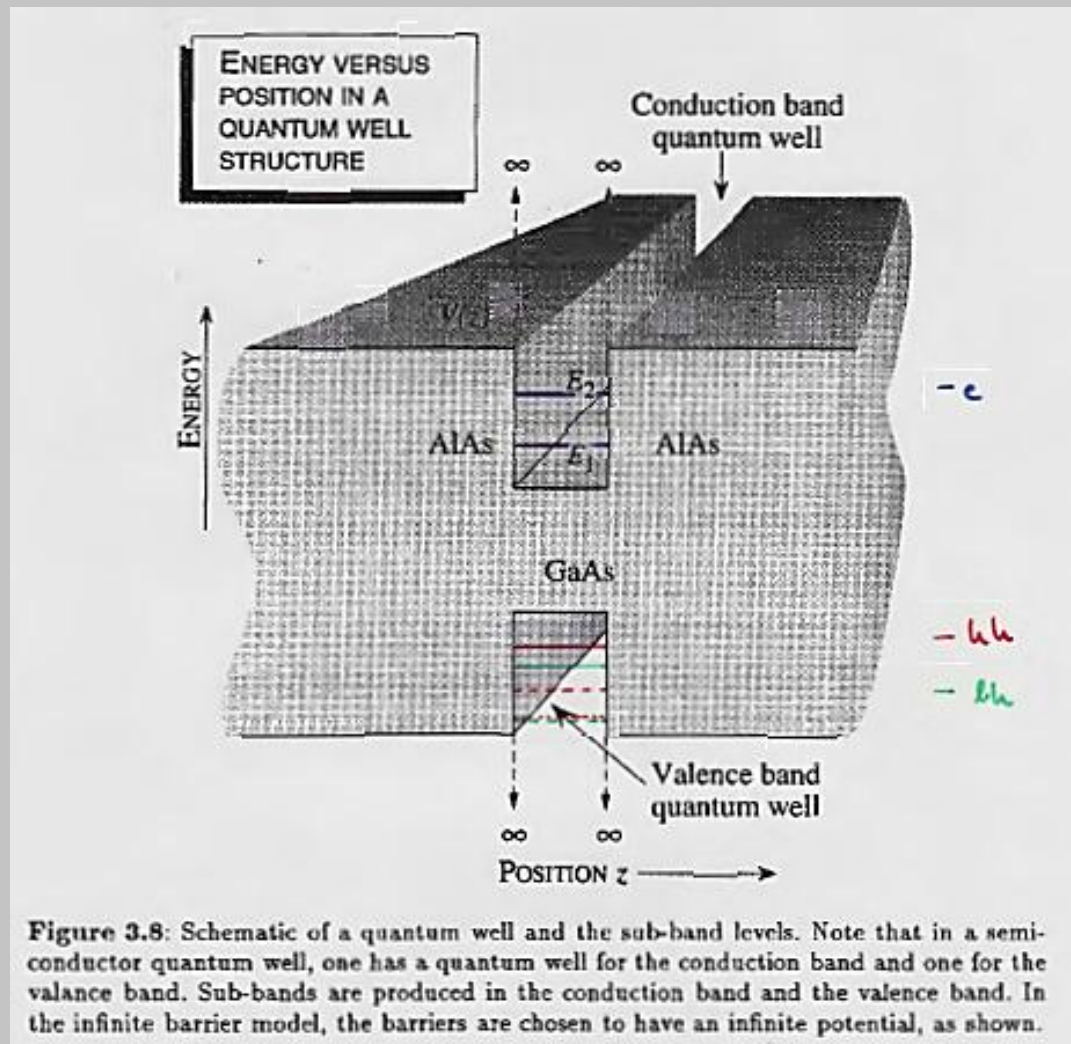


Figure 3.8: Schematic of a quantum well and the sub-band levels. Note that in a semiconductor quantum well, one has a quantum well for the conduction band and one for the valence band. Sub-bands are produced in the conduction band and the valence band. In the infinite barrier model, the barriers are chosen to have an infinite potential, as shown.

QW – Energie senkrecht zur z-Richtung

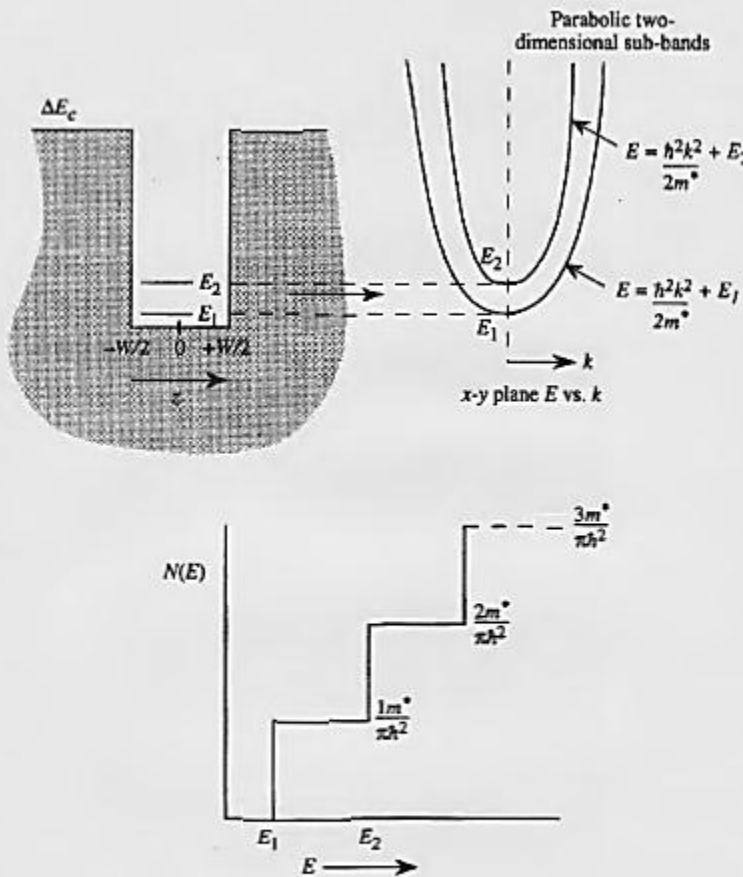


Figure 3.9: Schematic of a quantum well and the subband levels. In the $x-y$ plane the subbands can be represented by parabolas. Note that in a semiconductor quantum well, one has a quantum well for the conduction band and one for the valence band. Subbands are produced in the conduction band and the valence band.

$$E(u, k_x, k_y) = \frac{\hbar^2 k_x^2 \cdot u^2}{2m_{\text{e}}^* \cdot \omega} + \frac{\hbar^2 k_y^2}{2m_{\text{h}}^* \omega} + \frac{\hbar^2 k_z^2}{2m_{\text{h}}^* \omega}$$

QW - Energie

Die gesamte Energie eines Elektrons bzw. Földes (gemessen von der Bandkante des bulk Topfmaterials) ist

$$E(u, \omega_x, \omega_y) = \frac{\pi^2 \hbar^2 u^2}{2 \cdot m_w \cdot \omega_z^2} + \frac{\hbar^2 \omega_x^2}{2 \cdot m_z} + \frac{\hbar^2 \omega_y^2}{2 \cdot m_z}$$

Das ergibt eine Serie von Subbändern für $u=1, 2, 3, \dots$ wie in Tabelle Fig 3.9 sichtbar

In jedem Subband verhalten sich die Elektronen bzw. Földes als ob eine 2-dim. Welt existiert und ihre Zustandsdichte hat deshalb das 2-dim. stufenförmige Verhalten.

Mit Hilfe von Wachstums- und Verarbeitungstechnischen Schritten kann die Dimension noch weiter verringert werden und

Energie – Quantum Wire and Quantum Dot

Mit Hilfe von Dachsteuertechnischen und Verarbeitungstechnischen Schritten kann die Dimension noch weiter verringert werden und

⇒ Quantum wire (Quantendraht) (x und z -Richtung)

$$E(n, l, \omega_y) = \frac{\pi^2 \hbar^2 n^2}{2m^* \omega_z^2} + \frac{\pi^2 \hbar^2 l^2}{2m^* \omega_x^2} + \frac{\hbar^2 k_y^2}{2m^*}$$

bzw.

⇒ Quantum dot (Quantumpunkt) (x, y, z -Richtung quantisiert)

$$E(n, l, p) = \frac{\pi^2 \hbar^2 n^2}{2m^* \omega_z^2} + \frac{\pi^2 \hbar^2 l^2}{2m^* \omega_x^2} + \frac{\pi^2 \hbar^2 p^2}{2m^* \omega_y^2}$$

die entsprechenden Zustandsdichten siehe nächste Folie

Density of State (DOS)

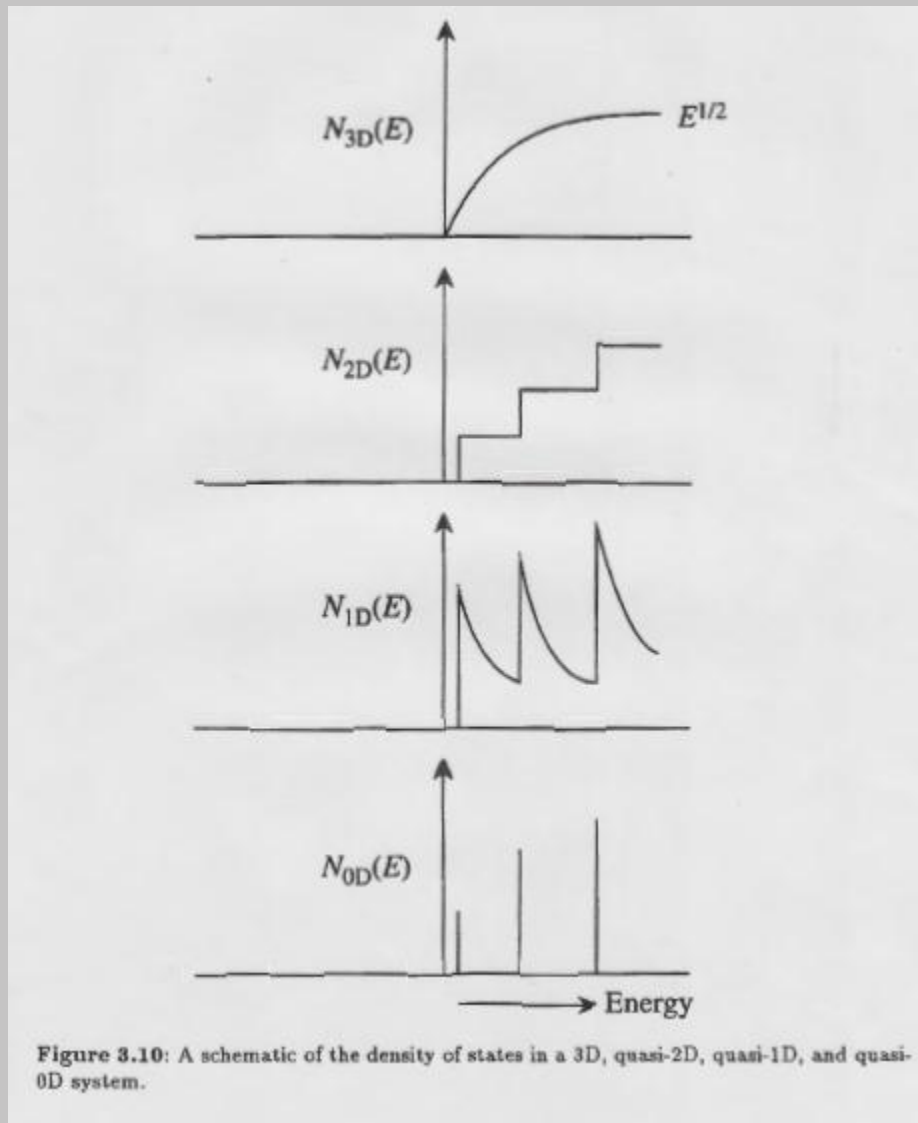


Figure 3.10: A schematic of the density of states in a 3D, quasi-2D, quasi-1D, and quasi-0D system.

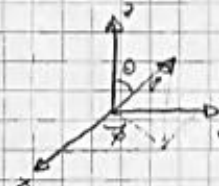
Sphärischer QD

3.5 | Sphärische Quantenwelle (3-dimensional)

Betrachten wir jetzt ein sphärisch symmetrisches Potentialproblem

Das Potential ist gegeben durch

$$V(r) = \begin{cases} -V_0 & r < a \\ 0 & r > a \end{cases}$$



Das Potential ist damit endlich. Die Lösung des sphärisch symmetrischen Problems ist im (θ, ϕ) Raum bekannt und durch Kugelfunktionen (spherical harmonics) beschreibbar.

Die zeitunabhängige Wellengleichung kann in Kugelkoordinaten als

$$\frac{\hbar^2}{2m} \left[\frac{1}{r^2} \frac{\partial}{\partial r} \left(r^2 \frac{\partial}{\partial r} \right) + \frac{1}{r^2 \sin \theta} \frac{\partial}{\partial \theta} \left(\sin \theta \frac{\partial}{\partial \theta} \right) + \frac{1}{r^2 \sin^2 \theta} \frac{\partial^2}{\partial \phi^2} \right] u + V(r)u = Eu$$

mit u der Wellenfunktion und E der Energie des Teilchens.
Durch Separation des radikalen und winkelabhängigen Teils

$$u(r, \theta, \phi) = R(r)Y(\theta, \phi)$$

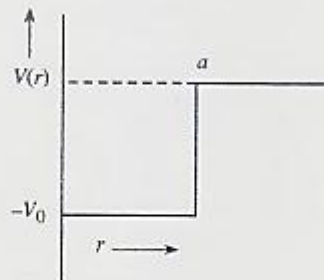
Sphärischer QD

erhält man

$$\frac{1}{R} \frac{1}{r} \frac{d}{dr} \left(r^2 \frac{dR}{dr} \right) + \frac{2mr^2}{\hbar^2} (E - V(r)) = - \frac{1}{Y} \left[\frac{1}{\sin \theta} \frac{\partial}{\partial \theta} \left(\sin \theta \frac{\partial Y}{\partial \theta} \right) + \frac{1}{\sin^2 \theta} \frac{\partial^2 Y}{\partial \phi^2} \right]$$
<p style="text-align: center

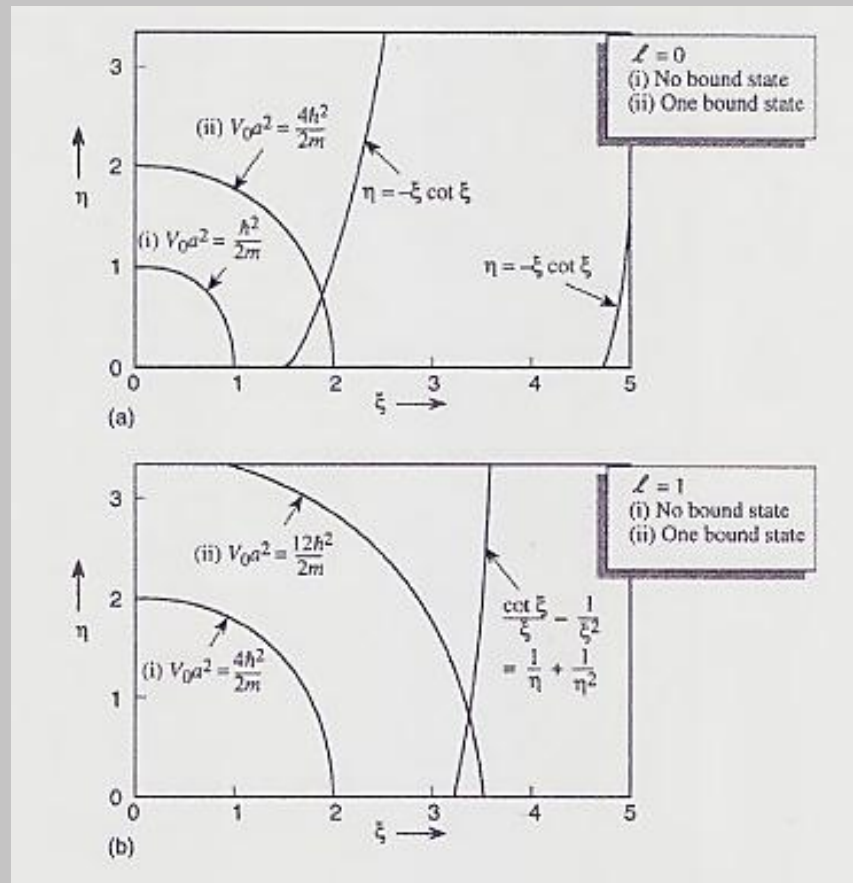
Sphärischer QD – graphische Lösung

3-dim, sphärischer Potentialtopf



Graphische Lösung des sphärischen Potentialtopfs

- a) Lösungen gebundener Zustände für den $l = 0$ Zustand und
- b) Lösungen gebundener Zustände für den $l = 1$ Zustand



Sphärischer QD

Der radiale Teil kann nur erhalten werden wenn $N(r)$ spezifiziert ist. Der Winkelabhängige Teil kann weiter separiert werden in Θ und ϕ durch Substitution

$$Y(\theta, \phi) = F(\theta) G(\phi)$$

$$\frac{1}{\sin \theta} \frac{d}{d\theta} (\sin \theta \frac{dF}{d\theta}) + (\lambda - \frac{\nu}{\sin^2 \theta}) F = -G \quad \Rightarrow \lambda = \ell(\ell+1)$$

$$\frac{d^2 G}{d\phi^2} + \nu G = 0 \quad \Rightarrow \nu = m^2$$

mit ℓ : Drehimpulsquantenzahl ℓ entweder Null oder positiv
 m : Spinzquantenzahl $|m| \leq \ell$

Aus dieser Winkelabhängigkeit wissen wir, dass $\lambda = \ell(\ell+1)$
 durch Substitution now

$$R(r) = \frac{\chi(r)}{r}$$

$l=0$	s
$l=1$	p
$l=2$	d
$l=3$	f

known der Radialteil jetzt folgendermaßen

$$-\frac{\hbar^2}{2m} \frac{d^2 \chi}{dr^2} + \left[V(r) + \frac{\ell(\ell+1)\hbar^2}{2mr^2} \right] \chi = E \cdot \chi$$

Sphärischer QD

Diese Gleichung sieht wie diejenige eines Teilchens in einem eindimensionalen Potential aus, wenn

$$V(r) + \frac{l(l+1)\hbar^2}{2mr^2}$$

wir haben dabei ein zusätzliches Potential der mit dem Drehimpuls des Teilchens verbunden ist

mit $L = mr^2\omega$ wissen wir doch die Zentrifugalkraft

$$F = mr^2\omega^2 r = \frac{L^2}{mr^3}$$

$$\Rightarrow V_{\text{Zentrifugal}} = \frac{L^2}{2mr^2} \quad \Rightarrow \quad L^2 = \hbar^2 \cdot (l \cdot (l+1))$$

Die Lösung des sphärisch symmetrischen Problems:

Überlegungen für den Fall $l=0$, d.h. Drehimpuls 0 (z-Achse)

für diesen Fall können wir substituieren

$$R(r) = \frac{\chi(r)}{r}$$

und erhalten:

$$\left\{ \begin{array}{ll} -\frac{\hbar^2}{2mr} \frac{d^2\chi}{dr^2} - V_0 \chi = E \chi & r < a \\ -\frac{\hbar^2}{2mr} \frac{d^2\chi}{dr^2} = E \chi & r > a \end{array} \right.$$

Sphärischer QD

Dieses Problem ist mit dem eines Teilchens in einer Quantenzelle identisch. Die einzigen Unterschiede sind darin:

- Der Wertebereich geht jetzt von $r=0$ bis ∞ ausstatt zu $-a$ bis ∞
- Die Randbedingung bei $r=0$ ist das $\chi(r=0) = 0$
(ausgenommen R divergiert)

Damit ergibt sich folgender Lösungsansatz:

$$\begin{aligned} \chi(r) &= A \cdot \sin(\alpha r) + B \cdot \cos(\alpha r) & r < a \\ &= C \cdot e^{-\beta r} & r > a \end{aligned}$$

wobei

$$\alpha = \left[\frac{2m(v_0 - E)}{\hbar^2} \right]^{1/2}$$

$$\beta = \left[\frac{2m|E|}{\hbar^2} \right]^{1/2}$$

Die Randbedingung erfordert, dass $\chi(r)$ bei $r=0$ gegen 0 geht.

\Rightarrow also $B = 0$ ist.

Die Stetigkeit der W. Ableitung

$m_1 \frac{d\chi}{dr} \Big _{r=a^-}$	$=$	$m_2 \frac{d\chi}{dr} \Big _{r=a^+}$
--------------------------------------	-----	--------------------------------------

Sphärischer QD

$$\frac{\alpha}{m_w} \cot(\alpha a) = -\frac{\beta}{m_b}$$

$$\alpha \cdot \cot(\alpha a) = -\frac{m_w}{m_b} \cdot \beta$$

oder mit $\xi = \alpha \cdot R$, $\eta = \beta / a$

$$\xi \cot \xi = -\frac{m_w}{m_b} \cdot \eta$$

$$|\text{mit} \quad \xi^2 + \frac{m_w \cdot \eta^2}{m_b} = \frac{2 \cdot m_w V_0 \cdot a^2}{\hbar^2} = R(a)^2$$

$$R = \sqrt{\frac{2 m_w V_0}{\hbar^2}} \cdot a$$

Dieses Problem hat jedoch keinen gebundenen Zustand wenn nicht folgende Bedingung erfüllt ist (van-Gleichung fällt weg)

$$V_0 \cdot a^2 > \frac{\pi^2 \hbar^2}{8 m}$$

$$\frac{\pi^2}{8} = 1,2337$$

Und es existiert nur eine Lösung solange

$$\frac{\pi^2 \hbar^2}{8 m} < V_0 a^2 < \frac{9 \pi^2 \hbar^2}{8 m}$$

$$\frac{\pi^2}{8} = 1,103$$

Dies ist genau Unterschied von früher (1-Dim square well potentiell) wo unendlich unendlich 1 gebundener Zustand existierte, unabhängig wie kleine $V_0 a^2$ ist.

Sphärischer QD

Das sphärische Potentialtopfproblem ist noch etwas komplizierter, wenn die Drehimpulsquantenzahl $\ell \neq 0$ ist.

Dann wird unsere Gleichung mit $\varphi = \alpha r$ zu

$$\left\{ \frac{d^2R}{ds^2} + \frac{2}{s} \frac{dR}{ds} + \left[1 - \frac{\ell(\ell+1)}{s^2} \right] R = 0 \right.$$

Die Lösung dieser Gleichung sind sphärische Besselfunktionen $j_\ell(s)$ innerhalb und sphärische Neumann Funktionen $n_\ell(s)$ außerhalb von a. Die allgemeine Lösung setzt sich dann aus den sphärischen Hankel Funktionen (komplexe Funktion)

$$u_\ell(s) = j_\ell(s) + i \cdot n_\ell(s)$$

zusammen

Sphärischer QD

Die Energieniveaus werden nur erhalten unter der Randbedingung
 $\lim_{R \rightarrow \infty} \frac{1}{R} \cdot \frac{dR}{dt} = 0$ bei $r=a$ stetig ist.

→ damit ergeben sich folgende Lösungen:

a) für $\ell=0$; ($\xi = \alpha \cdot a$, $\eta = \beta \cdot a$) erhalten wir wie früher

$$\left\{ \begin{array}{l} \xi \cot \xi = -\eta \\ \xi^2 + \eta^2 = \frac{2mV_0a^2}{\hbar^2} \end{array} \right.$$

b) für $\ell=1$:

$$\frac{\cot \xi}{\xi} = \frac{1}{\xi^2} = \frac{1}{\eta} + \frac{1}{\eta^2}$$

(p-Arbitale)

$$\xi^2 + \eta^2 = \frac{2mV_0a^2}{\hbar^2}$$

NINNEN
HILFE DELL'IMPERO

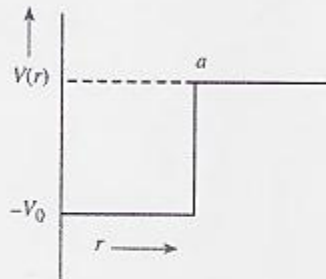
→ für $\ell=1$ ein gefundener Zustand existiert nur für

$$\frac{\hbar^2}{2} = 4.93$$

$$V_0a^2 > \frac{\pi^2 \hbar^2}{2m}$$

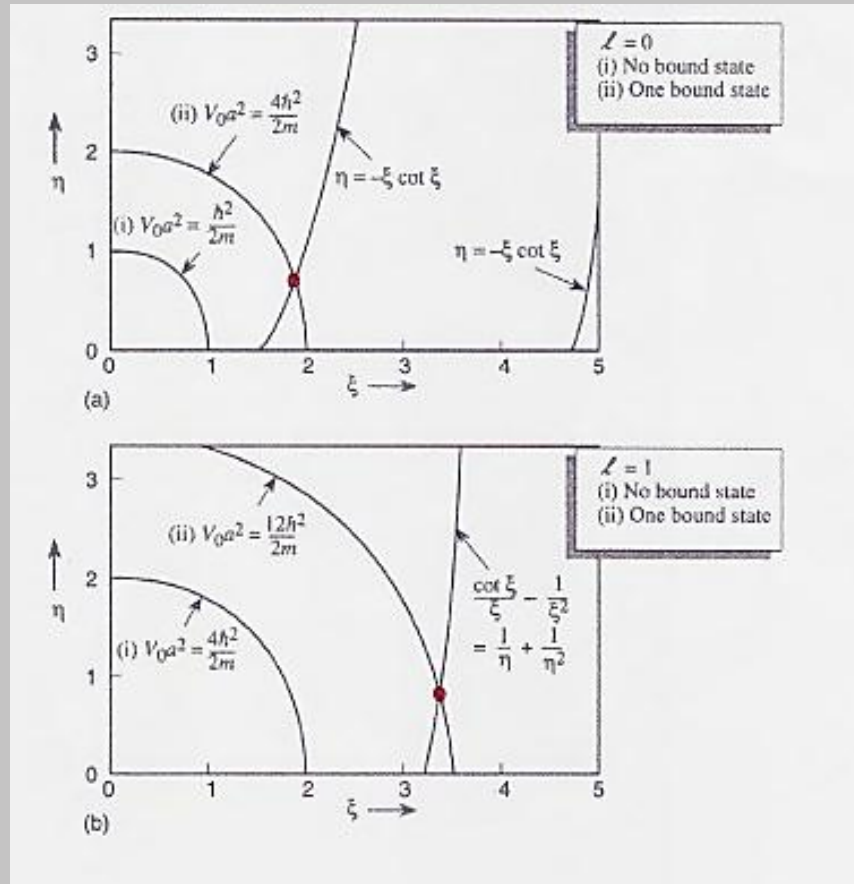
Sphärischer QD

3-dim. sphärischer Potentialtopf



Graphische Lösung des sphärischen Potentialtopfs

- a) Lösungen gebundener Zustände für den $l = 0$ Zustand und
- b) Lösungen gebundener Zustände für den $l = 1$ Zustand



QWs – verspannte Strukturen

z.B.:
GaN

GaAs

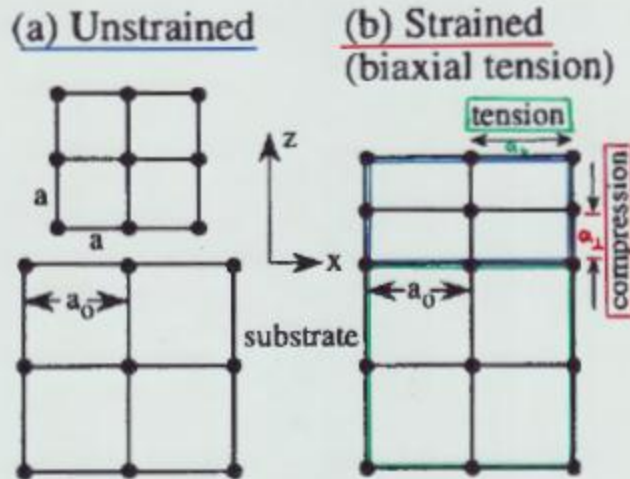


Figure 4.7. A layer material with a lattice constant a to be grown on a substrate with a lattice constant a_0 : (a) unstrained; (b) strained.

$$\varepsilon_{xx} = \varepsilon_{yy} = \frac{a_0 - a}{a} = \frac{a_{\text{substrate}} - a_{\text{layer}}}{a_{\text{layer}}}$$

$$\varepsilon_{zz} = -\frac{2C_{12}}{C_{11}}\varepsilon_{xx}$$

ε ... strain
 C_{ij} ... force constants

Table 4.1. Material Parameters

Parameters	GaAs	InAs	InP
a_0 (Å) ... lattice const.	5.6533	6.0584	5.8688
E_g (eV) ... energy gap	1.424	0.36	1.344
γ_1	6.85	20.4	4.95
γ_2 } Molen-Luttinger parameters	2.1	8.3	1.65
γ_3	2.9	9.1	2.35
C_{11} (10^{11} dyn/cm 2)	11.879	8.329	10.11
C_{12} (10^{11} dyn/cm 2)	5.376	4.526	5.61
$a = a_c - a_r$ (eV)	-9.77	-6.0	-8.6
b (eV)	-1.7	-1.8	-2.0
m_e^*/m_0	0.067	0.025	0.077

$\overset{a}{\underset{b}{\text{)}} \text{- Deformation potentials } \backslash$ hydrostatic

QWs – verspannte Strukturen

Verspannte QW-Laserstrukturen

a) verspannte Schichten

Folie 113, 116, 117

$$\text{Spannung: } \varepsilon_{xx} = \varepsilon_{yy} = \frac{a_{\text{Substrat}} - a_{\text{Schicht}}}{a_{\text{Schicht}}} =: \varepsilon$$

$$\varepsilon_{zz} = - \frac{2c_{12}}{c_{11}} \cdot \varepsilon_{xx}$$

↑

Elastizitätstheorie

c_{ij} ... Kraftkomponenten (-konstanten)

Die Verspannung kann die Bandstruktur modifizieren. Dass

Verspannung wird bei der Herstellung der Epitaktischen Schichten durch

Anwendung eines Käbbchens mit unterschiedlicher Gitterkonstante zum

Substrat eingebaut. Der "strain" hat aber einen chemischen

Einfluss auf die optischen Eigenschaften des Systems

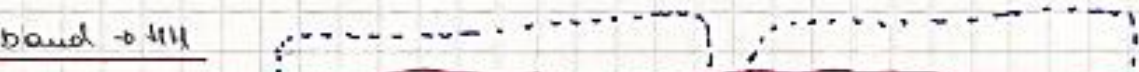
kann > 0 ... tension
 oder < 0 ... compress
 sein

QWs – verspannte Strukturen

1.) Durchstossen der Bandlücke

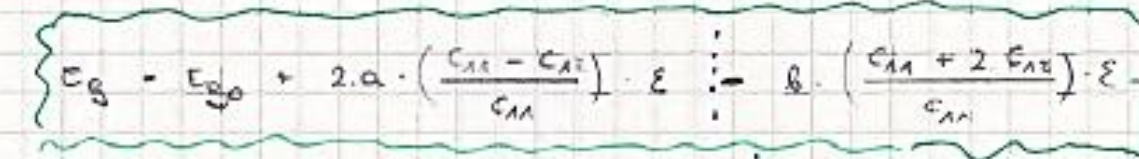
Der eingebauten Spann erlaubt es die Bandlücke eines AL genau einzustellen. Verspannung verursacht eine Abspaltung der schweren und leichten Löcher und die Bandlücken ergeben sich zu

C-Band \rightarrow HII



$$E_g = E_{g0} + 2a \cdot \left(\frac{c_{11} - c_{12}}{c_{11}} \right) \cdot \varepsilon + b \cdot \left(\frac{c_{11} + 2c_{12}}{c_{11}} \right) \cdot \varepsilon$$

C-Band = LII



$$E_g = E_{g0} + 2a \cdot \left(\frac{c_{11} - c_{12}}{c_{11}} \right) \cdot \varepsilon - b \cdot \left(\frac{c_{11} + 2c_{12}}{c_{11}} \right) \cdot \varepsilon$$

hydrostatische

u. Pikus-Bir

Schubkomponente

QWs – verspannte Strukturen

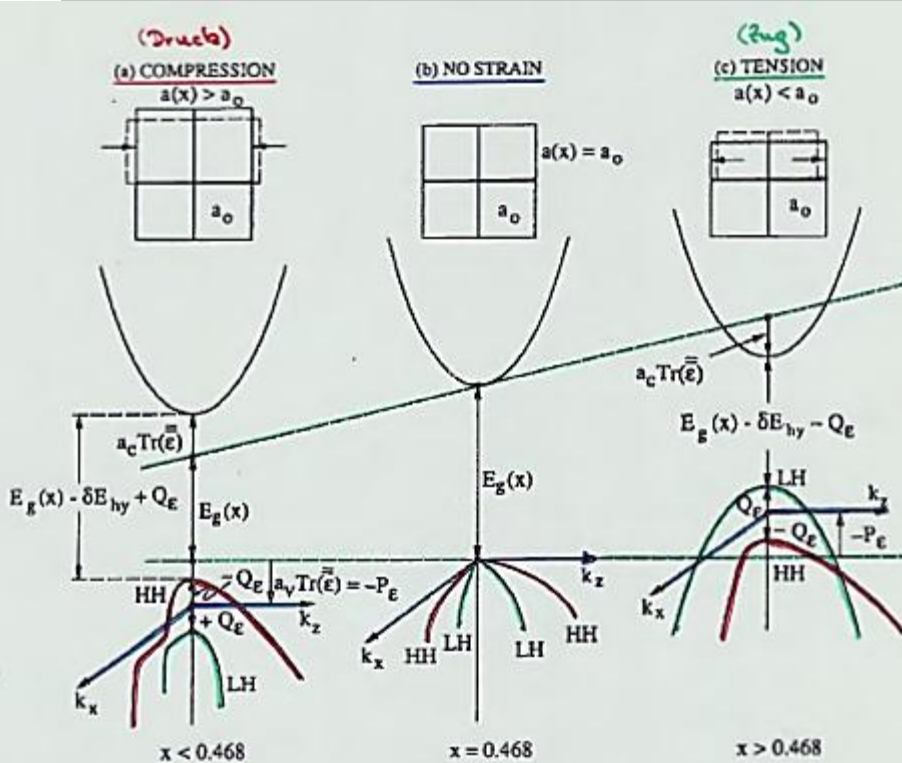


Figure 4.8. The energy-band structure in the momentum space for a bulk $\text{Ga}_x\text{In}_{1-x}\text{As}$ material under (a) biaxial compression, (b) lattice-matched condition, and (c) biaxial tension for different Ga mole fractions x . The heavy-hole band is above the light-hole band and its effective mass in the transverse plane (the k_x or k_y direction) is lighter than that of the light-hole band in the compressive strain case in (a). The light-hole band shifts above the heavy-hole band in the case of tension in (c). (After Ref. 37.)

C-band \rightarrow HH:
 hydrostatisch \downarrow
 Scherungskomponente \downarrow

$$E_g = E_{go} + 2 \cdot a \cdot \left(\frac{c_{11} - c_{12}}{c_{11}} \right) \cdot \varepsilon \oplus b \cdot \left(\frac{c_{11} + 2 \cdot c_{12}}{c_{11}} \right) \cdot \varepsilon$$

C-band \rightarrow LH:
 $E_g = E_{go} + 2 \cdot a \cdot \left(\frac{c_{11} - c_{12}}{c_{11}} \right) \cdot \varepsilon \ominus b \cdot \left(\frac{c_{11} + 2 \cdot c_{12}}{c_{11}} \right) \cdot \varepsilon$

Wobei $\varepsilon = \frac{a_{\text{substrate}} - a_{\text{layer}}}{a_{\text{layer}}}$

QWs – verspannte Strukturen

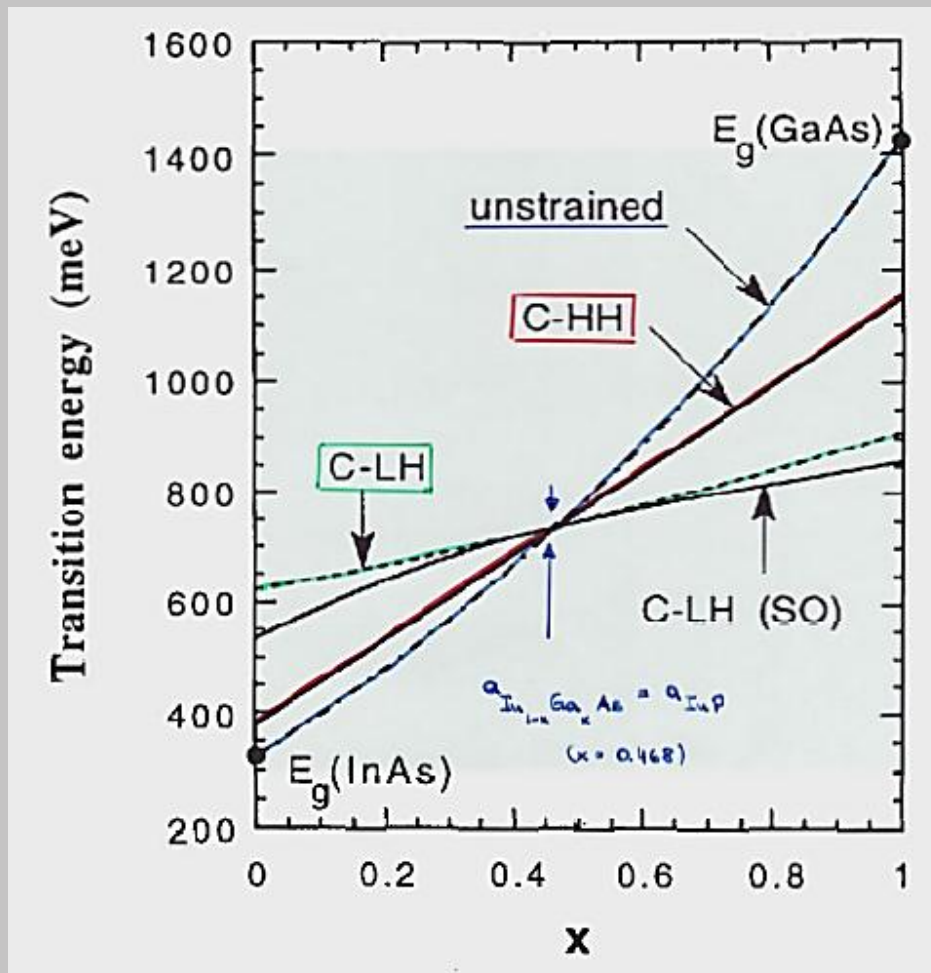


Figure 4.9. The energy band gap of a bulk $\text{In}_{1-x}\text{Ga}_x\text{As}$ vs. the Ga mole fraction x : ..., unstrained $\text{In}_{1-x}\text{Ga}_x\text{As}$; —, transition energies from the conduction band (C) to the heavy-hole (HH) and light-hole (LH) bands for a bulk $\text{In}_{1-x}\text{Ga}_x\text{As}$ pseudomorphically grown on InP; ---, the conduction to light-hole transition energy calculated without the spin-orbit (SO) split-off band coupling. (After Ref. 38.)

Titel